

Размерные эффекты нового типа в проводимости туннельных контактов металл–изолятор–металл

В. М. Свистунов, А. И. Хачатуров, О. И. Черняк

Донецкий физико-технический институт им. А. А. Галкина НАН Украины,
Украина, 340114, г. Донецк, ул. Р. Люксембург, 72
E-mail: svistuno@sts.dipt.donetsk.ua

Р. Аоки

College of Industrial Technology, Amagasaki, Nishi-Koya, Japan

Статья поступила в редакцию 2 марта 1998 г.

Предложена теоретическая модель, позволяющая рассчитывать характеристики туннельных контактов металл–изолятор–тонкая металлическая пленка. Наряду с известными эффектами, обусловленными соразмерными электронными состояниями, в ней предсказывается ряд принципиально новых особенностей в зависимости туннельной проводимости от напряжения $\sigma(V)$. Так, даже в случае симметричного туннельного контакта с электродами, выполненными из одного и того же материала, туннельная проводимость проявляет заметную асимметрию. Кроме того, ветвь зависимости $\sigma(V)$, соответствующая туннелированию в тонкопленочный электрод, содержит структуру, состоящую из провалов проводимости.

Запропоновано теоретичну модель, що дозволяє розраховувати характеристики тунельних контактів метал–ізолятор–тонка металічна плівка. Поряд з відомими ефектами, що обумовлені домірними електронними станами, в ній передбачається ряд принципово нових особливостей в залежності тунельної провідності від напруги $\sigma(V)$. Так, навіть для симетричного тунельного контакту, електроди якого вироблені з одного й того ж матеріалу, тунельна провідність проявляє значну асиметрію. Окрім того, вітка залежності $\sigma(V)$, що відповідає тунелюванню в тонкоплівочний електрод, має структуру, що складається з різних падів провідності.

PACS: 73.40.Gk, 73.40.Rw

1. Введение

Возможность наблюдения стоячих волн в тонких металлических пленках методом электронного туннелирования была высказана в первой половине шестидесятых годов (в «золотой век» туннельной спектроскопии) [1], однако их экспериментальное изучение началось лишь в начале семидесятых годов [2]. Основным фактором, сдерживающим экспериментальные исследования, являлась чрезвычайная чувствительность этого эффекта к толщине исследуемой пленки, что делало его наблюдение в реальных пленках весьма проблематичным. Авторы работы [2] учли, что толщина поликристаллической пленки L может изменяться лишь на дискретную величину, кратную постоянной решетки a , благодаря чему в ней

существуют так называемые соразмерные состояния с поперечной составляющей волнового вектора

$$k_z = \frac{S}{Q} \frac{\pi}{d} \quad (1)$$

(S/Q — несократимая дробь; d — толщина барьера), энергии которых $E_{nz} = (\hbar\pi n)^2/2mL^2$ не зависят от толщины. К настоящему времени эффект размерного квантования наблюдается туннельным методом в различных материалах (Pb, Au, Ag, Bi [3,4]) и считается хорошо изученным явлением. С его помощью можно определить положение некоторых особых точек зонной структуры и наклон дисперсионных кривых $\epsilon(k)$ вблизи этих точек. Исследовано также влияние на квантовый размерный эффект внешних воздействий. Так, например, в работах

[5,6] изучалось действие на него высоких гидростатических давлений (~ 10 кбар).

Однако во всех вышеупомянутых работах рассматривались особенности, проявляющиеся в туннельных характеристиках при конечных напряжениях смещения на переходе V . Цель настоящей работы состоит в том, чтобы изучить влияние стоячих волн на общее поведение туннельной проводимости $\sigma(V) = dI/dV$ в широком (порядка одного вольта) интервале напряжений.

2. Формулировка модели и анализ полученных результатов

Рассмотрим туннельный контакт металл—изолятор—тонкая металлическая пленка. Пусть оба электрода изготовлены из одного и того же металла с квадратичным законом дисперсии. Энергии Ферми этих электродов будут иметь одно и то же значение $E_{F1} = E_{F2} = E_F$. Предположим, что первый электрод имеет такие геометрические размеры, что его электронный спектр можно считать непрерывным, в то время как толщина L второго электрода достаточно мала для реализации квантового размерного эффекта. Пространственное квантование приводит к квазинепрерывному энергетическому спектру. Энергетическая зона расщепляется на двумерные подзоны

$$\epsilon_n(k_{\parallel}) = \frac{(\hbar k_{\parallel})^2}{2m} + \frac{(\pi\hbar)^2}{2mL^2} n^2, \quad n = 1, 2, 3, \dots \quad (2)$$

где k_{\parallel} — составляющая волнового вектора, параллельная плоскости туннельного барьера.

Поскольку в настоящей работе нас интересуют, в первую очередь, эффекты широкомасштабные по напряжению, удобно считать температуру измерения T равной нулю. При $T = 0$ занятые состояния для n -й подзоны тонкопленочного электрода лежат внутри круга, радиус которого $k_1 = \sqrt{2m(E_F - E_{nz})} / \hbar$ (все энергии отсчитываются от дна зоны проводимости начального электрода). Подадим конечное напряжение смещения V на тонкопленочный электрод и рассчитаем вклад в туннельный ток, вносимый n -й подзоной. При конечном отрицательном смещении V на тонкопленочном электроде все электроны, состояния которых лежат внутри кольца (рис. 1,а), определяемого радиусами k_1 и $k_2 = \sqrt{2m(E_F - E_{nz} - eV)} / \hbar$, могут принять участие в туннельном процессе, поскольку для всех них найдется свободное состояние на противоположной стороне контакта.

Разделив площадь диска S на двумерную плотность состояний $(2\pi)^2$, получим число

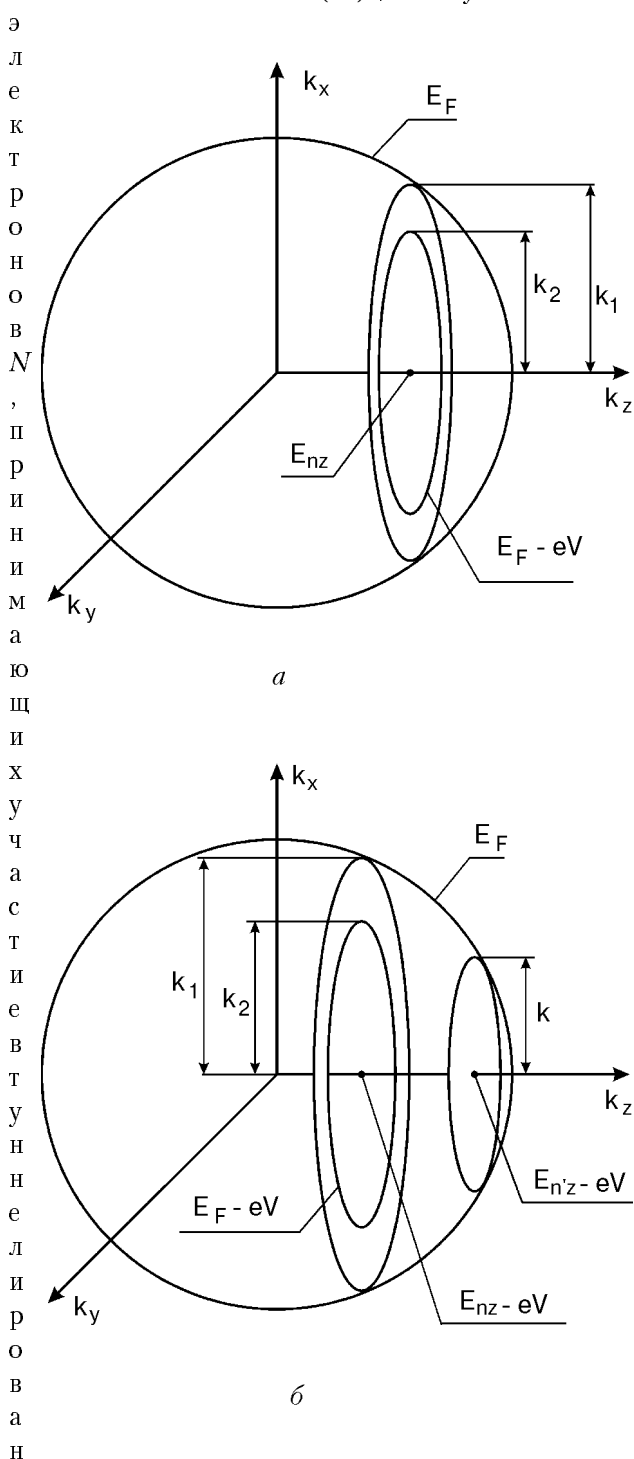


Рис. 1. Обратное пространство квантованной пленки. Уровень Ферми пленки сдвинут вверх относительно уровня Ферми обычного металлического электрода на величину V . Принимающие участие в туннелировании электроны n -й подзоны расположены в кольце площадью $2\pi m e V / \hbar$ (а). Обратное пространство обычного металлического электрода, уровень Ферми сдвинут напряжением смещения V вверх относительно уровня Ферми пленки. При $V = 0$ для положительных туннелирования $E_{nz} < E_F$ электроны, принимающие участие в туннелировании, находятся в кольце; для отрицательных туннелирования $E_{nz} \geq E_F$ эти электроны находятся в

его на заряд e и перпендикулярную составляющую скорости v_{nz} , найдем вклад от одной подзоны в падающий на плоскость перехода ток:

$$J_{in}(E_{nz}, V) = 2ev_{nz}N = 2e \frac{S}{(2\pi)^2} v_{nz} = \frac{m}{\pi\hbar^2} e^2 V v_{nz}, \quad (3)$$

$$eV < E_F - E_{nz}.$$

(Двойка в этой формуле появилась благодаря учету спина электрона.) В однозонной модели все электроны, расположенные в плоскости, перпендикулярной оси z , имеют одинаковую вероятность туннелирования $P(E_{nz}, V)$. Поэтому нахождение туннельного тока не требует интегрирования

$$J(E_{nz}, V) = \frac{e^2}{\pi\hbar^2} V \sqrt{2mE_{nz}} P(E_{nz}, V), \quad (4)$$

$$eV < E_F - E_{nz}.$$

Входящая в (4) вероятность туннелирования $P(E_{nz}, eV)$ для трапецеидального барьера с высотами ϕ_1 и ϕ_2 и толщиной d в ВКБ-приближении имеет сравнительно простой вид [7]

$$P(E_{nz}, V) = \exp \left\{ - \frac{A_d}{\phi_2 - eV - \phi_1} \times \right. \\ \left. \times \left[(\phi_2 - eV - E_{nz})^{3/2} - (\phi_1 - E_{nz})^{3/2} \right] \right\}, \quad (5)$$

где $A_d = 4\sqrt{2m} d/3\hbar$ (для простоты считаем, что эффективная масса электрона m в запрещенной зоне диэлектрика и в металлических электродах

равна массе свободного электрона). Если $eV > E_F - E_{nz}$, то, как легко видеть на рис. 1,а, дальнейшее увеличение напряжения не приводит к увеличению числа электронов, участвующих в туннелировании, поскольку подзона открыта полностью и все ее электроны, расположенные на круге площадью $2\pi m(E_F - E_{nz})/\hbar^2$, уже задействованы в туннельном процессе. Вклад в туннельный ток от единичной подзоны при этом равен

$$J_n(V) = \frac{e(E_F - E_{nz})}{\pi\hbar^2} \sqrt{2mE_{nz}} P(E_{nz}, V), \quad (6)$$

$$eV > E_F - E_{nz}.$$

Если при малых напряжениях смещения ($eV < E_F - E_{nz}$) ток $J_n(V)$ определялся двумя факторами: увеличением числа электронов, принимающих участие в туннельном процессе, и изменением вероятности туннелирования $P(E_{nz}, V)$, то при больших напряжениях ($eV > E_F - E_{nz}$) его изменение связано лишь с последним фактором.

Продифференцировав полный ток $J(V) = \sum_{E_{nz} < E_F} J(E_{nz}, V)$ по напряжению V , получаем выражение для туннельной проводимости

$$\sigma(V) = \sum_{E_{nz} < E_F} \sigma(E_{nz}, V), \quad (7)$$

где

$$\sigma(E_{nz}, V) = \begin{cases} \frac{e^2}{\pi\hbar^2} \sqrt{2mE_{nz}} [P(E_{nz}, V) + VP'(E_{nz}, V)], & eV < E_F - E_{nz} \\ \frac{e}{\pi\hbar^2} \sqrt{2mE_{nz}} (E_F - E_{nz}) P'(E_{nz}, V), & eV > E_F - E_{nz} \end{cases} \quad (8)$$

Входящую в эту формулу производную вероятности туннелирования по напряжению смещения $P'(E_{nz}, V) = dP(E_{nz}, V)/dV$ можно рассчитать аналитически

$$P'(E_{nz}, V) = \frac{eA_d \left[(\phi_2 - 3\phi_1 - eV + 2E_{nz}) \sqrt{\phi_2 - eV - E_{nz}} + 2\sqrt{(\phi_1 - E_{nz})^3} \right]}{2(\phi_2 - eV - \phi_1)^2} P(E_{nz}, V). \quad (9)$$

Таким образом, мы видим, что в зависимости туннельного тока от напряжения $J(V)$ следует ожидать появления изломов при напряжениях

$eV = E_F - E_{nz}$, а в дифференциальной проводимости $\sigma(V)$ — ступенек.

Пусть напряжение смещения V подано теперь на обычный электрод. Несмотря на то что энергетический спектр начального электрода непрерывен, принять участие в туннельном процессе могут лишь те электроны, которые найдут в конечном электроде, во-первых, разрешенные, а во-вторых, свободные состояния. При зеркальном и упругом туннелировании первое условие означает, что все туннелирующие электроны должны быть расположены на плоскостях $E'_{nz} = E_{nz} - eV$. В дальнейшем будем называть их плоскостями туннелирования. Очевидно, что полный туннельный ток можно найти, либо производя суммирование вкладов от всех плоскостей туннелирования E'_{nz} начального электрода, либо, что одно и то же, суммируя по соответствующим им подзонам конечного электрода E_{nz} . Рассмотрим плоскости туннелирования, для которых подзоны E_{nz}

расположены выше уровня Ферми ($E_{nz} > E_F$). В этом случае второе условие выполняется автоматически, так как все конечные состояния свободны. Однако при $eV < E_{nz} - E_F$ ток от n -й плоскости туннелирования равен нулю, поскольку сама эта плоскость не содержит занятых состояний. Такие состояния появляются лишь тогда, когда eV превысит энергетическое расстояние от рассматриваемой плоскости туннелирования до поверхности Ферми. При $eV > E_{nz} - E_F$ все эти состояния в обратном пространстве расположены на диске (рис. 1,б), причем перпендикулярная составляющая энергии диска непрерывно уменьшается с напряжением $E'_{nz} = E_{nz} - eV$, а радиус k увеличивается пропорционально $\sqrt{E_{nz} - E_F + eV}$. Вклад в общий туннельный ток, вносимый рассматриваемыми электронами, определяется формулой

$$J1(E'_{nz}, V) = \begin{cases} 0, & eV < E_{nz} - E_F \\ \frac{e}{\pi\hbar^2} (E_F - E'_{nz}) P(V, E'_{nz}) \sqrt{2mE'_{nz}}, & eV > E_{nz} - E_F \end{cases} \quad (10)$$

Рассмотрим плоскости туннелирования, соответствующие подзоны которых расположены ниже уровня Ферми ($E_{nz} \leq E_F$). В этом случае на противоположной стороне контакта свободные состояния имеются только для тех электронов, которые расположены в кольце с радиусами k_1 и k_2 (рис. 1,б). По мере увеличения напряжения смещения площадь этого кольца S растет пропорционально напряжению смещения ($S = 2\pi meV/\hbar$), а само оно движется вдоль оси z в направлении дна зоны. При $eV > E_{nz} - E_F$ в начальном электроде нет состояний, туннелируя с которых электрон мог бы попасть в рассматриваемую подзону. Вклад в общий туннельный ток, вносимый одной плоскостью туннелирования, равен

$$J2(E'_{nz}, V) = \begin{cases} \frac{e^2}{\pi\hbar^2} V \sqrt{2mE'_{nz}} P(V, E'_{nz}), & eV \leq E_{nz} \\ 0, & eV > E_{nz} \end{cases} \quad (11)$$

Полный туннельный ток будет представлять собой сумму вкладов от всех плоскостей туннелирования отдельных подзон

$$J(V) = \sum_{E_{nz} < E_F} J1(E'_{nz}, V) + \sum_{E_F < E_{nz} < E_F + eV} J2(E'_{nz}, V) \quad (12)$$

Дифференцируя это выражение по напряжению, получаем формулу для туннельной проводимости

$$\sigma(V) = \sum_{E_{nz} < E_F} \sigma1(E_{nz}, V) + \sum_{E_F < E_{nz} < E_F + eV} \sigma2(E_{nz}, V), \quad (13)$$

где

$$\sigma_1(V) = \begin{cases} \frac{e\sqrt{2m}}{\pi\hbar^2} \left\{ \left[(E_F - E_{nz} + eV) P_1'(V, E_{nz}) + eP_1(V, E_{nz}) \right] \sqrt{E_{nz} - eV} - \right. \\ \left. - \frac{e}{2} \frac{E_F - E_{nz} + eV}{\sqrt{E_{nz} - eV}} P_1(V, E_{nz}) \right\}, & eV \leq E_{nz} - E_F \\ 0, & eV > E_{nz} - E_F; \end{cases} \quad (14)$$

и

$$\sigma_2(V) = \begin{cases} \frac{e^2\sqrt{2m}}{\pi\hbar^2} \left\{ \left[V P_1'(V, E_{nz}) + P_1(V, E_{nz}) \right] \sqrt{E_{nz} - eV} - \frac{e}{2} \frac{V}{\sqrt{E_{nz} - eV}} P_1(V, E_{nz}) \right\}, & eV \leq E_{nz} \\ 0, & eV > E_{nz} \end{cases} \quad (15)$$

Вероятность туннелирования $P_1(V, E_{nz})$ и ее производная $P_1'(V, E_{nz})$ в этом случае определяются формулами

$$P_1(E_{nz}, V) = \exp \left\{ - \frac{A_d}{\varphi_2 - eV - \varphi_1} \left[(\varphi_2 - E_{nz})^{3/2} - (\varphi_1 - E_{nz} + eV)^{3/2} \right] \right\}, \quad (16)$$

$$P_1'(V, E_{nz}) = A_d P_1(V, E_{nz}) e \left[\frac{3\sqrt{\varphi_1 - E_{nz} + eV}}{2(\varphi_1 + eV - \varphi_2)} - \frac{\sqrt{(\varphi_1 - E_{nz} + eV)^3} - \sqrt{(\varphi_2 - E_{nz})^3}}{(\varphi_1 + eV - \varphi_2)^2} \right]. \quad (17)$$

На рис. 2 представлены результаты расчета дифференциальной проводимости туннельного контакта металл — изолятор — тонкая металлическая пленка, выполненные в предположении, что электроды последнего изготовлены из некоего гипотетического металла

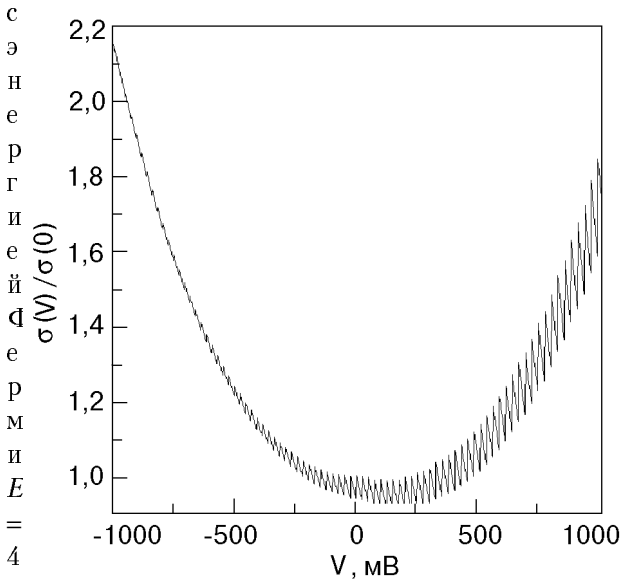


Рис. 2. Дифференциальная проводимость $\sigma(V)$ туннельного контакта (сплошная линия) металл — изолятор — квантованная пленка, однородная по толщине $L = 1000 \text{ \AA}$. Предполагается, что электроды изготовлены из гипотетического металла с $E_F = 4 \text{ эВ}$ и постоянной кристаллической решетки $a = 2 \text{ \AA}$. Высота прямоугольного потенциального барьера $\varphi_1 = \varphi_2 = 4 \text{ эВ}$, толщина $d = 11 \text{ \AA}$.

янной решетки $a = 2 \text{ \AA}$. Пленка полагалась однородной по толщине равной 1000 \AA , а барьер — прямоугольным с высотой $\varphi = 4 \text{ эВ}$ и толщиной $d = 11 \text{ \AA}$. На приведенной кривой отчетливо видны особенности, местоположения которых строго соответствуют ожидаемым, однако по своей форме они носят скорее осциллирующий, а не ступенчатый характер. Это полностью согласуется с предположениями, высказанными в [4], согласно которым эффекты размерного квантования, накладываясь на параболическую барьерную зависимость проводимости от напряжения, в сумме приводят к осцилляциям в $\sigma(V)$. Отметим, однако, тот факт, что величина эффектов при положительном напряжении смещения, которое соответствует туннелированию электронов из обычного металла в квантоворазмерную пленку, значительно выше, чем при отрицательном напряжении. К неожиданным результатам, на наш взгляд, следует отнести заметную, несмотря на ее немонотонный характер, асимметрию кривой.

Результаты аналогичных расчетов для неоднородной пленки, толщина которой варьируется в пределах $470\text{--}530 \text{ \AA}$, согласно гауссовскому закону $L \sim \bar{L} \exp \{ - [\alpha(\bar{L} - L)/\bar{L}]^2 \}$, где $\alpha = 1/6$ и $\bar{L} = 500 \text{ \AA}$, представлены на рис. 3 (сплошная линия). В полном согласии с рассуждениями отчетливая осциллирующая структура

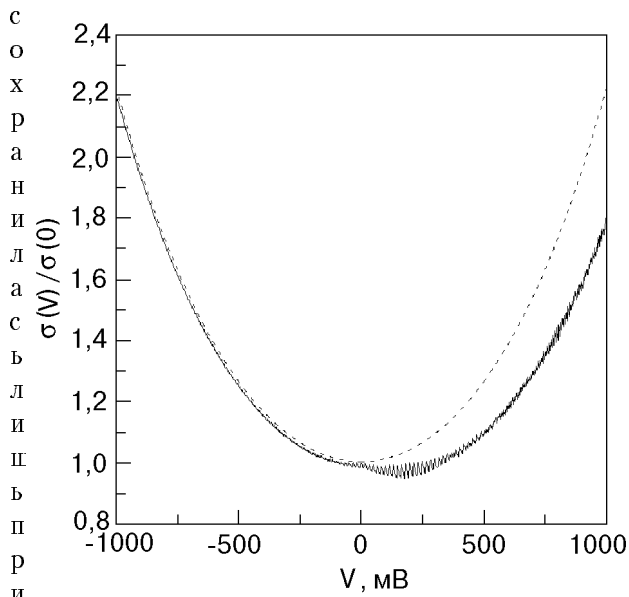


Рис. 3. Дифференциальная проводимость $\sigma(V)$ туннельного контакта (сплошная линия) металл–изолятор–неоднородная квантованная пленка с гауссовским законом распределения по толщине. Предполагается, что электроды изготовлены из гипотетического металла с $E_F = 4$ эВ и постоянной кристаллической решетки $a = 2$ Å. Толщина пленки варьируется от 470 до 530 Å, $\bar{L} = 500$ Å, $\alpha = 1/6$. Параметры потенциального барьера: $\phi_1 = \phi_2 = 4$ эВ и $\mu = 11$ Å. Штриховой линией показана дифференциальная проводимость контакта с обычными металлическими электродами, рассчитанная при тех же параметрах.

$eV = 178$ мэВ, что соответствует значению $S/Q = 3/2$, и, следовательно, $k_z = 3\pi/2d$. Штриховая кривая на рис. 3 — туннельная проводимость, рассчитанная при тех же барьерных параметрах, но в предположении, что обе обкладки туннельного контакта являются массивными электродами. Сравнивая обе кривые, видим, что квантовый размерный эффект, оставляя практически неизменной левую ветвь кривой $\sigma(V)$, соответствующую туннелированию из квантованной пленки в металл, значительно изменяет правую ветвь. При туннелировании из металла в квантованную пленку проводимость сначала уменьшается, проходит через минимум и лишь затем возрастает, заметно отставая в своем росте от левой ветви. В результате вся зависимость $\sigma(V)$, оставаясь, вообще говоря, параболической, как бы сдвигается на некоторую конечную величину V_{sh} в сторону положительных напряжений. Подобные эффекты сдвига кривой $\sigma(V)$ хорошо известны из эксперимента. Долгое время, как и в работе [8], они объяснялись исключительно асимметрией потенциального барьера. В работах [9,10] было показано, что причиной обсуждаемого сдвига

может быть также и различие в значениях энергии Ферми обкладок туннельного контакта при условии, что одно из этих значений порядка нескольких вольт, а второе не превышает одного вольта. Отметим, что в рамках предложенной модели легко могут быть получены наблюдаемые в некоторых случаях значения V_{sh} порядка нескольких сотен милливольт, которые очень трудно объяснить за счет асимметрии трапецеидального барьера.

Обсудим причину асимметрии туннельных характеристик в симметричных контактах с прямоугольным барьером и электродами, выполненными из одного и того же материала. При подаче напряжения смещения V на электрод с квазинепрерывным спектром основной вклад в проводимость вносят подзоны, лежащие ниже энергии Ферми, поперечные составляющие энергий E_{nz} которых находятся в интервале $E_F > E_{nz} > E_F - eV$. При туннелировании из обычного электрода туннельная проводимость определяется подзонами, лежащими выше энергии Ферми ($E_F < E_{nz} < E_F - eV$). При квадратичном законе дисперсии число последних меньше, чем в предыдущем случае. Необходимо отметить, что их соотношение зависит от энергии Ферми, постоянной решетки, измеряемого интервала, но не зависит, вообще говоря, от толщины квантованной пленки L . Это означает, что при простом увеличении толщины L в нашей модели не проявляется предельный переход к обычному случаю туннельного контакта металл–изолятор–металл с неквантованными электродами. Асимметрия в туннельных характеристиках будет сохраняться до тех пор, пока электронный спектр в одном из электродов непрерывен, а во втором дискретен, что и определяет условия применимости обсуждаемой модели.

Рассматриваемая модель предсказывает еще один вид особенностей, связанных со стоячими волнами. Как видно из формул (14) и (15), при отрицательном потенциале на массивном электроде $\sigma(V) \rightarrow \infty$ при $eV \rightarrow E_{nz}$. Это значение напряжения на переходе соответствует моменту ухода n -й плоскости туннелирования за нижний край зоны проводимости. Вообще говоря, тот факт, что уходящая подзона может вызвать какую-либо особенность в туннельной проводимости весьма неожидан, так как вклад нижних подзон в общий туннельный ток, как правило, ничтожно мал. Доминирующим является вклад вышележащих подзон. Однако, как следует из формул (14),(15), в

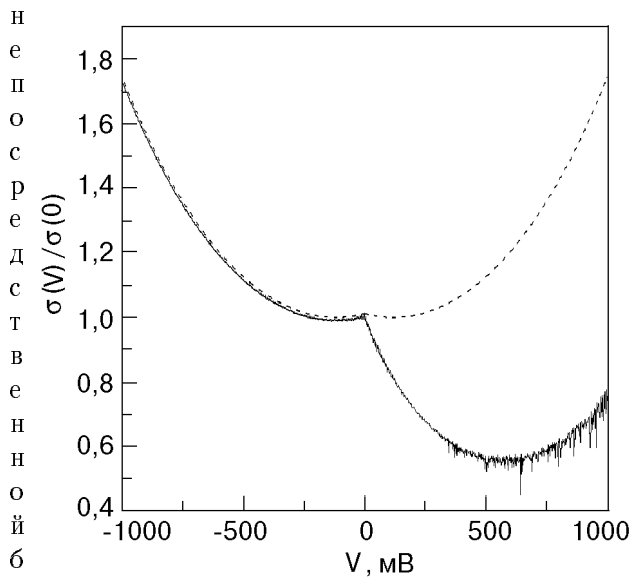


Рис. 4. Дифференциальная проводимость $\sigma(V)$ туннельного контакта (сплошная линия) металл–изолятор–неоднородная квантованная пленка с гауссовским законом распределения по толщине. Энергия Ферми обоих электродов равна 1 эВ. Остальные расчетные параметры совпадают с соответствующими значениями на рис. 3. Штриховой линией показана дифференциальная проводимость контакта с обычными металлическими электродами, рассчитанная при тех же параметрах.

аю зоны этот вклад настолько быстро стремится к нулю, что перевешивает возрастание всех остальных слагаемых в формуле (13). Результирующий провал в проводимости при этом должен быть чрезвычайно узок. Действительно, как показывают численные расчеты, ширина провалов для туннельной проводимости, приведенной на рис. 3, варьируется от нескольких нановольт (для подзон, находящихся у дна зоны проводимости) до нескольких десятков микровольт (для подзон, расположенных вблизи уровня Ферми). Вот почему они не обнаруживают себя в зависимости $\sigma(V)$ на рис. 3, рассчитанной с шагом 1 мВ. Однако при более благоприятных условиях, например при дальнейшем уменьшении энергии Ферми, обсуждаемые особенности начинают проявляться в расчетных зависимостях $\sigma(V)$ (рис. 4) в виде случайных пиков сопротивления, что сохраняет определенную надежду на возможность их экспериментального наблюдения.

3. Заключение

Таким образом, построенная нами теория туннельного контакта, в одном из электродов которого реализуется размерное квантование, предсказывает ряд ранее неизвестных эффектов.

Первый из них связан с общим поведением дифференциальной проводимости $\sigma(V)$ в широком диапазоне напряжений. Оказывается, что ветвь этой кривой, соответствующая туннелированию электронов из обычного электрода в квантованный, ведет себя аномальным образом. При малых напряжениях для этой полярности проводимость вначале убывает, проходит через минимум, а затем начинает возрастать, причем возрастание это происходит медленнее, чем при обратном напряжении смещения на переходе. В результате вся зависимость проводимости от напряжения смещения в целом имеет вид параболы, сдвинутой относительно нуля напряжения. По поводу второго эффекта отметим, что резистивные пики часто наблюдаются в туннельной проводимости металлооксидных сверхпроводников и объясняются исключительно на основе их сверхпроводящих свойств (в основном как разрушение «сверхпроводящих закороток»). Подобные эффекты были зарегистрированы и при туннелировании в нормальное состояние металлооксидов [11] и вплоть до настоящего момента не находят должного объяснения. Предлагаемая модель является единственной моделью, которая предсказывает резкие провалы проводимости туннельных контактов с несверхпроводящими обкладками. На наш взгляд, можно предположить, что наблюдаемые в туннельных характеристиках металлооксидных соединений квазипериодические пики сопротивления указывают на наличие в их электронных спектрах квазидвумерных подзон с малым числом носителей заряда.

Работа поддержана ТАО-грантом (The Telecommunications Advancement Organization of Japan).

Статья подготовлена в честь 70-летнего юбилея академика И. М. Дмитренко, указавшего одному из авторов (ВМС) еще в начале шестидесятых годов на элегантность Туннельного «Прощупывания» Твердых Тел.

1. Г. А. Гогадзе, И. О. Кулик, *ФТТ* **7**, 432 (1965).
2. R. C. Jaklevic and J. Lambe, *Phys. Rev.* **B12**, 4146 (1975).
3. В. Н. Луцкий, Д. Н. Корнеев, М. И. Елинсон, *Письма в ЖЭТФ* **4**, 267 (1966).
4. L. C. Davis, R. C. Jaklevic, and J. Lambe, *Phys. Rev.* **B12**, 798 (1975).
5. В. М. Свистунов, В. Ю. Таренков, *Письма в ЖЭТФ* **26**, 34 (1977).
6. В. М. Свистунов, М. А. Белоголовский, О. И. Черняк, *УФН* **151**, 31 (1987).
7. R. B. Floyd and D. G. Walmsley, *J. Phys.* **C11**, 4601 (1978).

-
8. W. F. Brinkman, R. C. Dynes, and J. M. Rowell, *J. Appl. Phys.* **41**, 1915 (1970).
 9. A. I. Khachaturov, V. M. Svistunov, and M. A. Belogolovskii, *Czech. J. Phys.* **46**, Suppl. Part S2, 1031 (1996).
 10. В. М. Свистунов, А. И. Хачатуров, М. А. Белоголовский, О. И. Черняк, *ФНТ* **22**, 605 (1996).
 11. V. M. Svistunov, Yu. F. Revenko, O. V. Grigut, O. A. Popov, M. A. Belogolovskii, and A. I. Khachaturov, *Mod. Phys. Lett.* **B5**, 607 (1991).

Possible new size effects in tunneling conductance of metal-insulator-metal junctions

V. M. Svistunov, A. I. Khachaturov,
O. I. Chernyak, and R. Aoki

A simple theory that makes it possible to calculate characteristics of a metal-insulator-quantized metal film tunnel junction is developed. Along with the well-known oscillations in the tunneling conductance $\sigma(V)$ due to commensurate electron states it predicts a number of new effects. Thus, even in the case of a symmetrical junction with a rectangular potential barrier the curve $\sigma(V)$ exhibits a prominent asymmetry. Its branch, corresponding to electron tunneling in the thin film electrode, contains a structure consisting of conductance dips.